

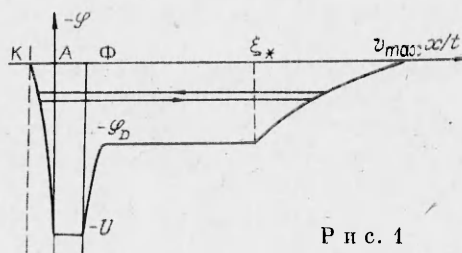
ГАЗОДИНАМИЧЕСКОЕ УСКОРЕНИЕ ИОНОВ В НЕОДНОРОДНОМ МАГНИТНОМ ПОЛЕ

Е. М. Сыресин

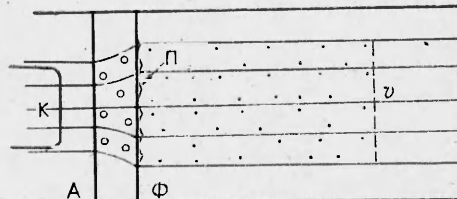
(Новосибирск)

1. Введение. Основные особенности газодинамического ускорения ионов в однородном магнитном поле выявлены в [1—4], где, в частности, указано на существование дебаевского скачка и построены автомоделные решения, позволяющие описать ускорение ионов при «ступенчатом» включении ускоряющего напряжения. Найденная в [2] форма потенциальной ямы для осциллирующих электронов показана на рис. 1. Ход потенциала в дебаевском скачке не зависит от времени, тогда как в области $\varphi < \varphi_D$ ширина ямы линейно увеличивается со временем.

Как показано в [3—4], эффективность ускорения ионов существенно зависит от толщины анодной фольги. Поэтому фольгу желательно выбирать такой, чтобы электроны передавали свою энергию ускоренным ионам значительно быстрее, чем теряли ее в фольге. Однако снижение толщины фольги приводит не только к росту эффективности ускорения ионов, но и к уменьшению углового рассеяния электронов в ней, что в конечном счете ведет к запиранию диода и уменьшению плотности ионного тока [4].



Р и с. 1



Р и с. 2

Чтобы ослабить соответствующее ограничение на запираение диода и увеличить эффективность передачи энергии ионам, в [3] предложена схема газодинамического ускорения ионов в неоднородном магнитном поле, сильном в области диода и слабом в области ускорения (рис. 2). Электронный пучок со сверхкритическим током инжектируется в дрейфовую камеру через сэндвич из фольг А и Ф, пространство между которыми заполнено нейтрализующей плазмой. В таких условиях большая часть электронов, инжектируемых в камеру, отражается и начинает осциллировать между реальным и «виртуальным катодом», возникающим в дрейфовой камере за фольгой Ф. В результате вблизи фольг А и Ф образуется плотное облако осциллирующих электронов. При определенных условиях электроны могут создавать на поверхности фольги Ф, расположенной в области слабого магнитного поля, слой плазмы П, служащий источником ионов. Под действием электрического поля облака ионы вытягиваются из этой плазмы и, компенсируя объемный заряд осциллирующих электронов, ускоряются вдоль камеры.

В настоящей работе обсуждается схема газодинамического ускорения ионов в неоднородном магнитном поле в двух модификациях, предложенных в [3], с сильно рассеивающей и нерассеивающей фольгой Ф. В первой модификации наличие неоднородного магнитного поля приводит к росту ионного тока, связанному с увеличением площади потока в области ускорения, во второй — рост тока незначителен, но зато увеличивается КПД ускорения ионов. Причина состоит в том, что в области ускорения вся энергия осциллирующих электронов будет заключена в продольной степени свободы. Это обстоятельство приводит к росту средней скорости расширения синтезированной из ионов и осциллирующих электронов плазмы. За счет увеличения средней скорости расширения плазмы и растет КПД ускорения.

2. Функция распределения осциллирующих электронов. Рассмотрим схему ускорения ионов в случае, когда анодная фольга сильно рассеивающая, а фольга Ф сверхтонкая. Толщина анодной фольги при этом такова, что для нее выполнены следующие условия:

$$(2.1) \quad \langle \theta^2 \rangle \gg \delta W/W \gg d/c\tau;$$

$$(2.2) \quad \langle \theta^2 \rangle \gg (\gamma m/M)^{1/2}.$$

Здесь $\gamma = 1 + W/mc^2$ — релятивистский фактор пучка; W — энергия исходного электронного пучка; $\langle \theta^2 \rangle$, δW — средний квадрат угла рассеяния и средние потери энергии электрона при нормальном падении на анодную фольгу; τ — длительность ускоряющего импульса; d — расстояние

между катодом и фольгой Φ ; M — масса ионов. Условие (2.1) соответствует тому, что электроны, захваченные в дебаевском слое, замедляются за время t , много меньшее длительности ускоряющего импульса τ , в результате чего устанавливается стационарная функция распределения электронов [3, 4]. При выполнении условия (2.2) функция распределения электронов в диоде изотропна: $f(p, \theta) = f(p)$.

Что касается фольги Φ , то ее толщина ограничена снизу условием

$$(2.3) \quad \delta W_1 \ll \delta W, \quad \langle \theta_1^2 \rangle \ll \delta W_1 / \delta W R,$$

где $\langle \theta_1^2 \rangle$ и δW_1 — средний квадрат угла рассеяния и средние потери энергии электрона при нормальном падении на фольгу Φ ; $R = H_1/H_0$; H_1 — поле в диоде; H_0 — поле в области ускорения. Условие (2.3) соответствует тому, что функция распределения осциллирующих электронов, оставаясь изотропной в диоде, при $R \gg 1$ становится почти одномерной на фольге Φ :

$$f(p, \theta_1) = \begin{cases} f(p), & \theta_1 < R^{-1/2} \\ 0, & \theta_1 > R^{-1/2} \end{cases}$$

(θ_1 — питч-угол электрона на фольге Φ).

Состояние облака осциллирующих электронов можно характеризовать функцией распределения этих электронов на анодной фольге $f(p)$. Кинетическое уравнение для $f(p)$ может быть найдено из условия сохранения продольного адиабатического инварианта

$$I(p, \theta, t) = \int_0^{x_1} q_{\parallel}(x, p, \theta) dx$$

при дополнительном условии $q_{\perp} = p \sin \theta / R^{1/2}$, выражающем собой факт неизменности поперечной компоненты импульса частицы. Здесь x_1 — координата правой точки поворота, нижний предел заменен на нуль, поскольку в задаче рассматриваются времена, когда $x_1 \gg d$; p и θ — импульс и питч-угол электрона на анодной фольге; $q_{\parallel}(x, p, \theta)$ — продольный импульс электрона в точке x ,

$$q_{\parallel}(x, p, \theta) = (q^2(x, p) - q_{\perp}^2)^{1/2};$$

$q(x, p)$ — полный импульс электрона в точке x ,

$$q(x, p) = \left\{ \left[(p^2 + m^2 c^2)^{1/2} + \frac{e}{c} (\varphi - U) \right]^2 - m^2 c^2 \right\}^{1/2}.$$

Отметим, что в автомоделном решении потенциал φ зависит от координаты x и времени t только в комбинации $x/t = \xi$. При этом для электронов с импульсом $p > p_D$ адиабатический инвариант есть линейная функция времени $I(p, \theta, t) = tJ(p, \theta)$ [2], величина

$$p_D = \left[2me(U - \varphi_D) + \frac{e^2}{c^2} (U - \varphi_D)^2 \right]^{1/2}$$

представляет тот предельный импульс, при котором электрон, вылетевший по нормали к поверхности фольги, еще удерживается в дебаевском слое. Для электронов с импульсом $p < p_D$ $I(p, \theta, t) = 0$, так как $x_1 = 0$.

Кинетическое уравнение для функции распределения в этом случае имеет вид [4]

$$(2.4) \quad J_{\xi}(p) \frac{\partial f}{\partial p} + \frac{J_1(p)}{p} f + \frac{1}{p^2} \frac{\partial \delta W p^2 f}{\partial p} + Q = 0,$$

где

$$(2.5) \quad J_1(p) = J \left(p, \theta = \frac{\pi}{2} \right) = p \int_0^{\xi_1} \left(\frac{q^2}{p^2} - \frac{1}{R} \right)^{1/2} d\xi_1$$

$$J_2(p) = \int_0^{\frac{\pi}{2}} J(p, \theta) \sin \theta \cos \theta d\theta.$$

Источник Q описывает рост числа частиц в облаке за счет пучка:

$$Q = \frac{n_b v_0}{4\pi p^2} \delta(p - p_0).$$

Здесь n_b — плотность пучка у анодной фольги; p_0 и v_0 — импульс и скорость электрона, соответствующие ускоряющему напряжению U :

$$p_0 = \left(2meU + \frac{e^2 U^2}{c^2} \right)^{1/2}, \quad v_0 = \frac{p_0 c}{(p_0^2 + m^2 c^2)^{1/2}}.$$

Подставляя $J(p, \theta)$ в (2.5) и интегрируя последнее по θ , находим

$$J_2(p) = \frac{pR}{3} \left[\int_0^{\xi_1} \frac{q^3}{p^3} d\xi - \int_0^{\xi_2} \left(\frac{q^2}{p^2} - \frac{1}{R} \right)^{3/2} d\xi \right],$$

где $\xi_1 = x_1/t$, а ξ_2 определяется из равенства $q(\xi_2, p) = pR^{-1/2}$. Решая уравнение (2.4), получим

$$(2.6) \quad f(p) = \frac{n_b v_0}{4\pi w(p_0)} \exp \left[\int_p^{p_0} \left(J_1 p + \frac{\partial \delta W p^2}{\partial p} \right) \frac{dp}{w(p)} \right]$$

($w(p) = J_2(p)p^2 + \delta W p^2$). Обратим внимание, что при $p < p_D$ $I(p, \theta, t) = 0$, поэтому $f(p) = \text{const}/(p^2 \delta W)$. Знание $f(p)$ на анодной фольге позволяет найти плотность электронов в точке с потенциалом φ :

$$(2.7) \quad n(\varphi, H) = 2\pi \int \frac{f(p(q)) q dq d\mu H}{(q^2 - \mu H)^{1/2}} \quad (\mu = q_{\perp}^2/H).$$

Заметим, что, согласно (2.6), плотность облака осциллирующих электронов пропорциональна плотности электронов пучка на анодной фольге

$$(2.8) \quad n(\varphi, H) = n_b \nu(\varphi, H),$$

где безразмерная функция $\nu(\varphi, H)$ не зависит от n_b . Зная зависимость $n(\varphi, H)$, можно полностью конкретизировать автомодельное решение уравнений, описывающих газодинамическое ускорение ионов.

3. Определение параметров ионного потока. В одномерной постановке задача об ускорении ионов в автомодельных переменных описывается системой уравнений [1]

$$(3.1) \quad (v - \xi) \frac{dn}{d\xi} + n \frac{dv}{d\xi} = 0, \quad (v - \xi) \frac{dv}{d\xi} + \frac{e}{M} \frac{d\varphi}{d\xi} = 0,$$

где v, n — скорость и плотность ионов. Из условия квазинейтральности облака плотность ионов равна плотности электронов:

$$(3.2) \quad n = n(\varphi, H_0).$$

Систему уравнений (3.1), (3.2) следует дополнить граничными условиями [1]

$$(3.3) \quad v_* = \left[\frac{2(W - e\varphi_D)}{M} \right]^{1/2},$$

$$\int_{\varphi_D}^{\bar{\varphi}} n d\varphi = n_b v_0 \int_{\varphi_D}^{\bar{\varphi}} \frac{d\varphi}{\left[\frac{2(W - e\varphi_D)}{M} \right]^{1/2}},$$

первое из которых определяет скорость электронов за дебаевским скачком,

второе представляет собой равенство нулю электрического поля в области однородного потока за скачком.

При заданной плотности пучка n_b и известной функции $v(\varphi, H)$ система уравнений (3.1)–(3.3) полностью определяет решение газодинамической части задачи. Основные трудности состоят в самосогласованном отыскании функции $v(\varphi, H)$: она определяется функцией распределения электронов, а последняя в свою очередь — зависимостью потенциала от ξ . Соответствующая задача в большинстве случаев может быть решена только численно с помощью метода последовательных приближений: задавая на нулевом шаге форму потенциальной ямы $\varphi(\xi)$, с помощью (2.6) и (2.8) вычислим функцию распределения $f(p)$ и плотность электронов $n_b v(\varphi, H)$. Зная зависимость $v(\varphi, H)$, из системы уравнений (3.1)–(3.3) получаем следующее приближение для $\varphi(\xi)$. Повторяя эту процедуру несколько раз, построим достаточно точное выражение для $f(p)$ и v . В результате получается самосогласованное решение задачи, определенное с точностью до масштабного множителя n_b , который находится из решения уравнения Пуассона в диоде.

Вместе с тем существует случай, когда решение определяется аналитически, это случай нерелятивистских электронов, $\gamma - 1 \ll 1$. В дальнейшем рассмотрим ситуацию, когда $R \gg 1$, а потери энергии электронов в анодной фольге существенно меньше потерь энергии электронов, затраченных на ускорение ионов:

$$(3.4) \quad \frac{\delta W}{W} \ll \left(\frac{\gamma m}{M}\right)^{1/2}.$$

При $R \gg 1$ $J_1(p) = 2J_2(p) = J(p, \theta = 0)$. В нерелятивистском случае $p^2 \delta W$ не зависит от энергии электрона [4], поэтому функция распределения имеет вид

$$(3.5) \quad f(p) = \begin{cases} \frac{n_b v_0}{2\pi J_0 p^2}, & 0 < p < p_D, \\ \frac{n_b v_0}{2\pi J_0 p^2}, & p_D < p < p_0 \end{cases}$$

($J_0 = J(p_0, \theta = 0)$). Подставляя полученную функцию распределения в (2.7), вычислим плотность облака осциллирующих электронов в области ускорения

$$(3.6) \quad n(\psi, H_0) = \begin{cases} n_0 \psi^{1/2}, & \psi < \psi_D, \\ n_0 \left[\psi^{1/2} - \frac{2(\psi - \psi_D)^{3/2}}{3(1 - \psi_D)} \right], & \psi > \psi_D \end{cases}$$

где $\psi = \varphi/U$ — безразмерный потенциал; $n_0 = 2n_b W/J_0 R$. Величина n_0 определяется, если воспользоваться тем, что в силу квазинейтральности потока плотность тока пучка $en_b v_0$ равна $en_* v_* R$ — плотности ионного тока, n_* и v_* — плотность и скорость ионов при $\psi = \psi_D$. Воспользовавшись этим замечанием, приходим к результату

$$n_0 = \frac{n_b}{R \left[\frac{m}{M} \psi_D (1 - \psi_D) \right]^{1/2}}.$$

Скачок потенциала за дебаевским слоем ψ_D определяем из граничных условий (3.3):

$$(3.7) \quad 5(1 - \psi_D^{3/2}) - 2(1 - \psi_D)^{3/2} = 15\psi_D^{1/2}(1 - \psi_D).$$

Подставляя зависимость $n(\psi, H_0)$ в систему уравнений (3.1), находим автономное решение в области волны разрежения $v_{\max} > \xi > \xi_*$ (обозначения см. на рис. 1):

$$(3.8) \quad n = n_0(v_{\max} - \xi)/2v_0, \quad v = (v_{\max} + \xi)/2, \\ \psi = (v_{\max} - \xi)^2/4v_0^2.$$

Здесь $v_0 = \left(\frac{\delta W}{m}\right)^{1/2}$; $v_{\max} = v_0 [(1 - \psi_D)^{1/2} + \psi_D^{1/2}]$; $\xi_* = v_0 [(1 - \psi_D)^{1/2} - \psi_D^{1/2}]$.
 Значения n_* и v_* в области постоянного течения определяем из условия сшивки этого течения с волной разрежения:

$$(3.9) \quad v_* = (v_{\max} + \xi_*)/2, \quad n_* = n_0 (v_{\max} - \xi_*)/2v_0.$$

Решая систему алгебраических уравнений (3.7)–(3.9), находим все не определенные пока значения численных параметров:

$$(3.10) \quad \psi_D = 0,047, \quad \xi_* = 0,755, \quad v_{\max} = 1,19, \quad v_* = 0,976, \quad n_* = 0,217.$$

Таким образом, задача о газодинамическом ускорении ионов полностью решена, а для определения плотности пучка n_b решим уравнение Пуассона в диоде

$$(3.11) \quad \frac{d^2\psi}{dx^2} = \frac{4\pi e}{U} \left[\frac{n_b}{\psi^{1/2}} + n(\psi, H_1) \right], \quad \psi|_{x=0} = 0, \quad \frac{d\psi}{dx}|_{x=0} = 0, \quad \psi|_{x=d_1} = 1,$$

где первое слагаемое в правой части учитывает плотность заряда электронов пучка, а второе — плотность заряда осциллирующих электронов. Плотность электронного облака в диоде

$$(3.12) \quad n(\psi, H_1) = \begin{cases} n_1 \left[\psi^{1/2} - (1 - \psi)^{1/2} \operatorname{arctg} \left(\frac{\psi}{1 - \psi} \right)^{1/2} \right], & \psi < \psi_D \\ n_1 \left\{ \psi^{1/2} - (\psi - \psi_D)^{1/2} - (1 - \psi)^{1/2} \left[\operatorname{arctg} \left(\frac{\psi}{1 - \psi} \right)^{1/2} - \right. \right. \\ \left. \left. - \operatorname{arctg} \left(\frac{\psi - \psi_D}{1 - \psi} \right)^{1/2} \right] + \frac{(\psi - \psi_D)^{3/2}}{3(1 - \psi_D)} \right\}, & \psi > \psi_D \end{cases}$$

($n_1 = 2n_0R$). Подставляя $n(\psi, H_1)$ в уравнение (3.11) и интегрируя его по ψ , получаем $n_b = 0,256 n_{b0}$, n_{b0} — плотность электронного пучка, определяемая по «закону 3/2».

Важная характеристика процесса ускорения — доля энергии, передаваемая ионам электронами пучка:

$$(3.13) \quad \eta = \frac{\frac{M}{2} \int_0^{x_1} n v^2 dx}{n_b W v_0 t}.$$

Эффективность ускорения в рассматриваемом случае составляет $\eta = 0,93$. Отметим, что для нерелятивистского диода в однородном магнитном поле $\eta = 0,77$, а $n_b = 0,234 n_{b0}$ [3, 4]. Когда потери энергии электронов в фольге существенно больше энергии, передаваемой ускоренным ионам электронами пучка:

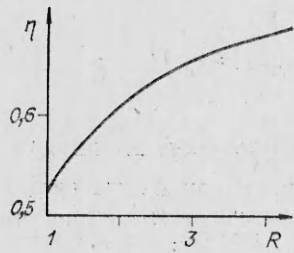
$$(3.14) \quad \frac{\delta W}{W} \gg \left(\frac{\gamma m}{M} \right)^{1/2},$$

при $R \gg 1$ решение задачи о газодинамическом ускорении ионов также может быть получено аналитически. Коэффициент полезного действия (КПД) в этом случае

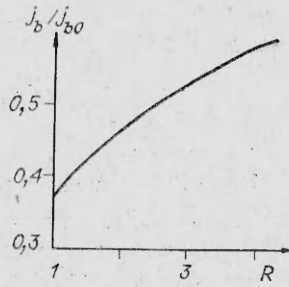
$$\eta = 0,495 \frac{W}{\delta W} \left(\frac{m}{M} \right)^{1/2}.$$

Отметим, что он существенно больше, чем КПД ускорения ионов в однородном магнитном поле:

$$\eta = 0,119 \frac{W}{\delta W} \left(\frac{m}{M} \right)^{1/2}.$$



Р и с. 3



Р и с. 4

Плотность пучка n_b для диода, помещенного в неоднородное магнитное поле, при выполнении условия (3.14) будет такой же, что и для диода, помещенного в однородное магнитное поле.

При произвольном соотношении между $\delta W/W$ и $(\gamma m/M)^{1/2}$ при $R \geq 1$ решение задачи о газодинамическом ускорении ионов может быть построено только численно, методом последовательных приближений. Приведем результаты численных расчетов, выполненных при условиях (2.1)–(2.3). Как отмечено выше, функция распределения, оставаясь изотропной в диоде, при $R \gg 1$ становится почти одномерной в области ускорения, где основная доля энергии осциллирующих электронов заключена в продольной степени свободы. Это обстоятельство приводит к росту средней скорости расширения ионного потока и, следовательно, к росту КПД ускорения ионов.

Зависимость КПД ускорения ионов η от уплотнения магнитного поля R при $\gamma = 3$, $\delta W/mc^2 = 4 \cdot 10^{-3}$ показана на рис. 3. Рост диодного тока при увеличении R в этом случае незначителен; так, при $R = 5$ подрастание тока по сравнению с $R = 1$ составляет около 10%.

Отметим, что полученные в этом разделе результаты справедливы при (3.15)

$$R \ll (M/\gamma m)^{1/2}.$$

Ограничение на R связано со следующим обстоятельством. Электроны с импульсом $p > p_D$, вылетающие из анодной фольги под углом $\theta \approx \pi/2$, вследствие расширения потенциальной ямы теряют часть своего продольного импульса и уже не возвращаются в диод. Поскольку при выводе кинетического уравнения эти электроны не учитывались, необходимо, чтобы их доля была мала. Легко оценить, что число таких электронов будет мало, если выполнено неравенство (3.15).

4. Ускорение ионов в диоде с сильно рассеивающей фольгой Ф. Приведем результаты расчетов газодинамического ускорения ионов в случае, когда анодная фольга сверхтонкая, а фольга Ф сильно рассеивающая:

$$(4.1) \quad \langle \theta_1^2 \rangle \gg \frac{\delta W_1}{W} \gg \frac{\lambda}{ct},$$

$$\langle \theta_1^2 \rangle \gg \max \left(\left(\frac{\gamma m}{M} \right)^{1/2}, R^{-1} \right), \quad \delta W \ll \delta W_1.$$

Условие (4.1) соответствует тому, что упругое рассеяние электронов в фольге Ф — самый быстрый процесс, так что функция распределения осциллирующих электронов изотропна как в диоде, так и в области ускорения. Поэтому все результаты, относящиеся к форме спектра и к величине КПД ускорения ионов, остаются теми же, что и в [4], где рассмотрена задача об ускорении ионов в однородном магнитном поле.

Однако наличие неоднородного магнитного поля приводит к существенному снижению плотности облака электронов в диоде, связанному с увеличением площади потока в области ускорения ионов. Уменьшение плотности облака осциллирующих электронов в свою очередь приводит к росту тока пучка j_b и в конечном счете — ионного тока.

Для нерелятивистского диода $\gamma - 1 \ll 1$ зависимость диодного тока от R найдена в [3]:

$$\frac{j_b}{j_{b0}} = 14,5s^{3/4} (1 - 0,8s^{1/8})^2.$$

Здесь $s = R \left[1,17 \left(\frac{m}{M} \right)^{1/2} + 7,5 \frac{\delta W_1}{W} \right]$; j_{b0} — плотность диодного тока, определяемая по «закону 3/2». Для релятивистского диода решение может быть получено только с помощью численных расчетов по схеме, приведенной в п. 3. Зависимость j_b/j_{b0} от R при $\gamma = 3$, $\delta W_1/mc^2 = 4 \cdot 10^{-3}$ показана на рис. 4, где j_{b0} — плотность диодного тока, определяемая по аналогии с «законом 3/2» для релятивистского диода. Как видно из рис. 4, наличие неоднородного магнитного поля приводит к значительному увеличению плотности диодного тока.

Полученные в работе результаты находятся в согласии с экспериментальными результатами, приведенными в [5]. Разумеется, в реальных условиях не приходится иметь дело со строго «ступенчатой» формой напряжения, так что сравнение наших результатов с экспериментальными может носить только качественный характер. Другое возможное ограничение применимости приведенного рассмотрения состоит в том, что в настоящей работе не изучалась возможность снижения импеданса диода путем нейтрализации заряда электронов диодного промежутка зарядом ионов, эмиттирующих с внутренней стороны анодной фольги.

Автор благодарен Д. Д. Рютову за многочисленные обсуждения в ходе выполнения работы.

ЛИТЕРАТУРА

1. Рютов Д. Д., Ступаков Г. В. О влиянии ионного фона на накопление электронов в сильноточном диоде. — Физика плазмы, 1976, т. 2, № 5.
2. Ступаков Г. В. Автомодельное решение в теории газодинамического ускорения ионов. — Физика плазмы, 1980, т. 6, № 6.
3. Рютов Д. Д. Работы ИЯФ СО АН СССР по коллективному ускорению ионов в мощных электронных пучках. — В кн.: Совещание по проблемам коллективного метода ускорения. Дубна, 1982.
4. Рютов Д. Д., Сыресни Е. М. Теория «газодинамического» ускорения ионов облаком осциллирующих электронов. Препринт ИЯФ СО АН СССР 84—129. — Новосибирск, 1984.
5. Дейчули П. П., Федоров В. М. Ускорение ионов облаком осциллирующих электронов на установке Вода 1—10. — В кн.: IV Всесоюз. симпоз. по сильноточной электронике. Новосибирск, 1982, т. 2.

Поступила 14/II 1985 г.

УДК 629.735.33.015.3.025,1 : 533.6.12/13

ИНДУКТИВНОЕ СОПРОТИВЛЕНИЕ ИЗОГНУТОГО КРЫЛА

Г. И. Майкапар

(Жуковский)

В авиационной технике применяются крылья, образуемые раскрытием прилегающих к осесимметричному корпусу поверхностей; представляет интерес выбор углов расположения осей поворота крыльев φ и их раскрытия θ (рис. 1), при которых индуктивное сопротивление минимально. Наибольший размах крыла получается при углах, близких к $\varphi = \pi/3$, $\theta = \pi/2$, однако, кроме размаха, на индуктивное сопротивление влияет кривизна крыла. Достаточно обоснованного метода расчета подъемной силы и индуктивного сопротивления системы крыло — тело вращения нет; связано это с тем, что тело вращения не имеет острой задней кромки, фиксирующей заднюю критическую линию, как у крыла. Не известно, сходят ли с тела вращения свободные вихри. Если корневая хорда крыла велика